

## MELHORIA DE QUALIDADE DE VÍDEO COMPRIMIDO ATRAVÉS DO USO DE REDES NEURAIS PROFUNDAS

**GILBERTO KREISLER<sup>1</sup>; GARIBALDI DA SILVEIRA JUNIOR<sup>2</sup>; BRUNO ZATT<sup>3</sup>;**  
**DANIEL PALOMINO<sup>4</sup>; GUILHERME CORRÊA<sup>5</sup>**

<sup>1</sup>*Universidade Federal de Pelotas – gkfneto@inf.ufpel.edu.br*

<sup>2</sup>*Universidade Federal de Pelotas – garibaldi.dsj@inf.ufpel.edu.br*

<sup>3</sup>*Universidade Federal de Pelotas – dpalomino@inf.ufpel.edu.br*

<sup>4</sup>*Universidade Federal de Pelotas – zatt@inf.ufpel.edu.br*

<sup>5</sup>*Universidade Federal de Pelotas – gcorrea@inf.ufpel.edu.br*

### 1. INTRODUÇÃO

O volume de dados provenientes de vídeos digitais tem crescido cada vez mais na internet. Com a pandemia de COVID-19, empresas com atividades relacionadas a vídeos digitais como TikTok, NetFlix e YouTube tiveram um grande aumento de demanda. Só durante o primeiro mês da pandemia, o volume de dados proveniente da transmissão de vídeos pela internet aumentou em 32,6% (STATISTA, 2022). Além disso, vídeos de alta resolução, como *Ultra-High Definition* (UHD) 4K e 8K, têm se tornado cada vez mais comuns. De acordo com (CISCO, 2020), até o fim do ano de 2023, vídeos em 4K representarão 66% do consumo de internet por aparelhos de televisão, sendo este percentual maior do que o previsto em 2018 (33%).

Para transmitir estes vídeos sem nenhum tipo de compressão é necessária uma alta largura de banda, porém este é um recurso limitado. Dessa forma a compressão de vídeos é um processo necessário para que um vídeo seja transmitido sem consumir muita largura de banda e com uma qualidade aceitável. Porém, o processo de compressão acaba por introduzir artefatos nos vídeos que degradam a Qualidade de Experiência (*Quality of Experience* – QoE). Dessa forma é necessária a adição de filtros para processar o vídeo após a descompressão.

Grande parte das arquiteturas propostas para o problema de melhoria de qualidade de vídeo (*Video Quality Enhancement* - VQE) utiliza apenas vídeos comprimidos conforme o padrão HEVC, tanto para treinamento como teste, não analisando a efetividade dos modelos gerados para a melhoria de vídeos comprimidos por outros padrões de codificação. Este é o caso da arquitetura *Spatio-Temporal Deformable Fusion* (STDF), proposta por DENG ET. AL.(2020), que adota um alinhamento de características utilizando convoluções deformáveis aplicadas a múltiplos quadros ao invés do típico processo de estimação e compensação de movimento adotado por outras arquiteturas, como a *Multi Frame Quality Enhancement* (MFQE) de YANG ET. AL.(2018).

Neste trabalho, apresentamos um novo modelo baseado na arquitetura STDF (DENG ET. AL., 2020). Esta proposta, denominada multi-codec, é realizada usando um *dataset* misto composto por vídeos comprimidos pelos codecs VVC e AV1. Resultados experimentais mostram que o modelo proposto alcança um aumento de qualidade objetiva consistente para vídeos comprimidos com múltiplos codecs, atingindo um valor de  $\Delta$ PSNR até 0,382 dB.

### 2. METODOLOGIA

O processo de treinamento do modelo STDF multi-codec começa com a divisão do *dataset* de vídeo em duas partes iguais: 54 vídeos comprimidos usando VVC com QP 37 e 54 vídeos comprimidos usando AV1 com CQ 55. O VVC *Test Model* (VTM) (versão 13.0) foi utilizado como software de referência para todas as codificações de VVC, seguindo a configuração temporal *Low Delay*. O software de referência libaom (*hashcode* 3.3) foi utilizado para todas as codificações AV1. A divisão dos vídeos foi feita de acordo com o tipo de resolução.

A partir dessa divisão, foi gerado o *dataset* multi-codec, utilizado para treinamento o modelo STDF (DENG ET. AL., 2020). Durante o processo de treinamento, o modelo é alimentado com pares de imagens, sendo uma imagem de referência não compactada e outra imagem compactada pelo VVC ou AV1. O objetivo do treinamento é fazer com que o modelo aprenda a mapear as imagens compactadas de volta para as imagens originais de alta qualidade. O processo de treinamento é repetido várias vezes, ajustando os pesos do modelo para reduzir a diferença entre as imagens geradas pelo modelo e as imagens originais de alta qualidade. O modelo treinado é então avaliado usando um conjunto de dados de validação e testado em vídeos comprimidos com outros codecs e configurações de quantização.

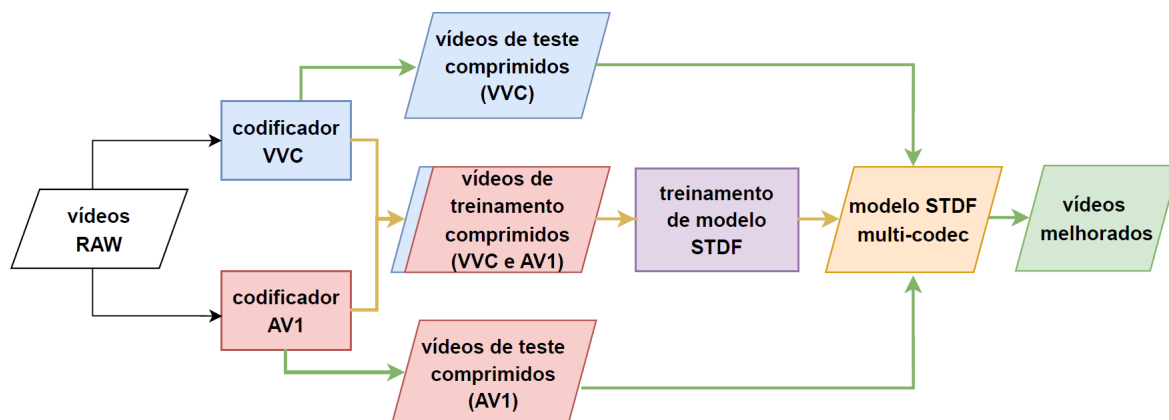


Figura 1. Metodologia de treinamento e teste do modelo STDF multi-codec.

O processo de treinamento é representado pelo caminho com setas amarelas na Figura 1, enquanto a etapa de testes é representada pelo caminho com setas verdes. O treinamento foi realizado usando a implementação de referência STDF (XING., DENG., 2020). Como os dois módulos do STDF são baseados em CNN, a arquitetura é unificada e pode ser treinada de ponta a ponta. Para o treinamento, foi utilizado um computador com a seguinte configuração: processador *AMD Ryzen 7 5700X*; 32 GB de memória RAM; GPU *Nvidia Geforce RTX 3070* com 8 GB de VRAM. Os parâmetros referentes ao tamanho do lote (*batch size*) e número de iterações foram adaptados para atingir o mesmo número de épocas usado em DENG ET. AL.(2020) com uma única GPU (ou seja, um tamanho do lote de 8 e 300.000 iterações).

### 3. RESULTADOS E DISCUSSÃO

A Tabela 1 apresenta os resultados de VQE obtidos para o modelo STDF multi-codec proposto considerando as 18 sequências de vídeo de teste. Os resultados são apresentados para as 8 versões dos vídeos de teste, ou seja,

considerando os quatro codecs e duas configurações de quantização. Os vídeos de teste são agrupados por dimensão de acordo com a sua classe (BOYCE ET. AL. 2018): Classe A: 2560x1600, Classe B: 1920x1080, Classe C: 832x480, Classe D: 416x240, Classe E: 1280x720. Os resultados são apresentados em PSNR, pois esta é a métrica mais comumente utilizada em trabalhos relacionados, permitindo comparações.

Tabela 1. Resultados do modelo STDF multi-codec para vídeos comprimidos com diferentes codecs.

Dataset de treino		$\Delta$ PSNR(dB)							
		HEVC		VVC		VP9		AV1	
		QP 32	QP 37	QP 32	QP 37	CQ 43	CQ 55	CQ 43	CQ 55
Classe A	<i>Traffic</i>	0,314	0,291	0,193	0,190	0,277	0,358	-0,012	0,166
	<i>PeopleOnStreet</i>	0,37	0,368	0,130	0,149	0,340	0,391	0,055	0,19
Classe B	<i>Kimono</i>	0,249	0,193	0,114	0,112	0,217	0,195	0,093	0,12
	<i>ParkScene</i>	0,15	0,105	0,115	0,078	0,183	0,164	0,123	0,155
	<i>Cactus</i>	0,244	0,239	0,123	0,163	0,199	0,230	0,011	0,095
	<i>BQTerrace</i>	0,14	0,198	-0,009	0,052	0,074	0,192	-0,127	0,032
	<i>BasketballDrive</i>	0,313	0,316	0,088	0,152	0,261	0,317	-0,001	0,16
Classe C	<i>RaceHorses</i>	0,254	0,246	0,084	0,113	0,244	0,283	0,66	0,176
	<i>BQMall</i>	0,388	0,342	0,211	0,248	0,314	0,375	0,013	0,221
	<i>PartyScene</i>	0,492	0,372	0,265	0,258	0,436	0,428	0,203	0,279
	<i>BasketballDrill</i>	0,447	0,443	0,008	0,149	0,424	0,442	0,031	0,234
Classe D	<i>RaceHorses</i>	0,348	0,298	0,177	0,175	0,352	0,328	0,22	0,261
	<i>BQSquare</i>	0,803	0,643	0,431	0,375	0,752	0,775	0,571	0,689
	<i>BlowingBubbles</i>	0,46	0,352	0,328	0,316	0,403	0,377	0,246	0,311
	<i>BaskeetballPass</i>	0,573	0,463	0,380	0,392	0,549	0,515	0,257	0,43
Classe E	<i>FourPeople</i>	0,514	0,431	0,316	0,342	0,450	0,514	-0,064	0,209
	<i>Johnny</i>	0,398	0,349	0,221	0,256	0,352	0,410	0,032	0,21
	<i>KristenAndSara</i>	0,428	0,384	0,226	0,260	0,345	0,461	-0,075	0,153
Média		<b>0,382</b>	<b>0,335</b>	<b>0,189</b>	<b>0,210</b>	<b>0,343</b>	<b>0,375</b>	<b>0,091</b>	<b>0,229</b>

Pode ser observado que o modelo multi-codec proposto obtém resultados médios positivos em todos os cenários. Em média, o modelo proposto é capaz de aumentar a qualidade objetiva da imagem entre 0,091 dB (AV1, CQ 43) e 0,382 dB (HEVC, QP 32). Além disso, também pode-se observar que o modelo foi capaz de melhorar a qualidade de vídeos comprimidos com outras configurações de quantização além daquelas usadas para comprimir os vídeos de treinamento, como é o caso do HEVC QP 32 (0,382 dB), VVC QP 32 (0,189 dB), VP9 CQ 43 (0,343) e AV1 CQ 43 (0,091).

A Tabela 2 apresenta resultados médios obtidos com os modelos STDF single-codec e, na última linha, os resultados obtidos com o modelo STDF multi-codec replicados. Em dois terços dos modelos single-codec, podem ser percebidos resultados negativos no teste, indicando que os modelos não são eficazes para todos os quatro padrões/formatos de codificação testados. De fato, em 6 dos 24 testes (25%) realizados com modelos single-codec, valores negativos (isto é, redução na qualidade visual) foram percebidos. O único modelo single-codec que gera resultados positivos em todos os casos de teste é aquele treinado com vídeos gerados pelo codec AV1. Ainda assim, o modelo multi-codec alcança melhores resultados do que este em praticamente todos os casos de teste, exceto para vídeos comprimidos usando o AV1, o que é esperado.

Tabela 2. Comparação entre o STDF multi-codec e o STDF single-codec

Dataset de treino	$\Delta$ PSNR (dB)							
	HEVC		VVC		VP9		AV1	
	QP 32	QP 37	QP 32	QP 37	CQ 43	CQ 55	CQ 43	CQ 55
HEVC QP 37	0,362	0,755	-0,217	0,250	-0,465	0,357	-1,479	-0,506
VVC QP 37	0,446	0,529	0,216	0,371	0,050	0,385	-0,530	-0,016
AV1 CQ 55	0,346	0,285	0,137	0,144	0,368	0,389	0,109	0,286
Multi-codec	<b>0,382</b>	<b>0,335</b>	<b>0,189</b>	<b>0,210</b>	<b>0,343</b>	<b>0,375</b>	<b>0,091</b>	<b>0,229</b>

#### 4. CONCLUSÕES

Este artigo apresentou um novo modelo para a arquitetura STDF de VQE capaz de melhorar a qualidade visual de vídeos comprimidos com diferentes codecs de vídeo. O modelo apresentado propõe uma abordagem inovadora, que leva em consideração que diferentes padrões e formatos de codificação de vídeo introduzem diferentes tipos e níveis de artefatos de compressão na imagem. Dessa forma, o modelo foi treinado com vídeos gerados por múltiplos padrões de codificação de vídeo, para que pudesse aprender a reduzir esses artefatos de forma mais eficaz. Ao contrário dos trabalhos estado da arte, que geralmente são treinados com apenas um codec de vídeo, o modelo proposto neste artigo foi treinado com vídeos comprimidos pelos codecs VVC e AV1. Os resultados obtidos foram promissores, mostrando que o modelo foi capaz de melhorar a qualidade visual dos vídeos comprimidos em todos os casos testados.

#### 5. REFERÊNCIAS BIBLIOGRÁFICAS

- STATISTA. **Semiconductor market size worldwide from 1987 to 2020.** 2022. Acessado em 23 mar. 2022. Online. Disponível em: <https://www.statista.com/statistics/266973/global-semiconductor-sales-since-1988/>
- CISCO. **Cisco annual internet report (2018–2023) white paper.** 2020. Acessado em 15 fev. 2023. Online. Disponível em: <https://www.cisco.com/c/en/us/solutions/collateral/executive-perspectives/annual-internet-report/white-paper-c11-741490.html>
- Xing, Q. and Deng, J. **PyTorch implementation of STDF.** 2020. Acessado em 21 set. 2023. Online. Disponível em: <https://github.com/ryanxingql/stdf-pytorch>, version 1.0.0, 2020.
- Boyce, J., Suehring, K., and Li, X. (2018). **Jvet-j1010: Jvet common test conditions and software reference configurations.** JVET-J1010
- Deng, J., Wang, L., Pu, S., and Zhuo, C. (2020). **Spatio-temporal deformable convolution for compressed video quality enhancement.** Proceedings of the AAAI conference on artificial intelligence, v. 34, p. 10696–10703.
- Yang, R., Xu, M., Wang, Z., and Li, T. (2018). **Multi-frame quality enhancement for compressed video.** Proceedings of the IEEE Conference on Computer Vision and Pattern Recognition, p. 6664–6673.